

(HUANJING KEXUE)

ENVIRONMENTAL SCIENCE



ENVIRONMENTAL SCIENCE

第37卷 第7期 2016年7月15日

目 次

2015 年北京市两次红色预警期间 PM _{2.5} 浓度特征 ·······
程念亮,张大伟,陈添,石爱军,孙峰,刘保献,邹本东,王琴,李倩,王小菊,姜磊,孟凡(2409)
北京市冬季雾霾天人体呼吸高度 PM, 5变化特征对气象因素的响应 ······ 张南,熊黑钢,葛秀秀,段鹏程,毛先如,王亚龙(2419)
· 山州十号细颗粉物由名环芒松远沈蛙作及亚洲分析 · · · · · · · · · · · · · 本 · · · · ·
三川八(如林德·沙丁夕/17月7月17年7月1127年7月1127年7月11日7年7月11日7年7日7年7日7年7日7年7日7年7日7年7日7年7日7年7日7年7日7
兰州大气细颗粒物中多环芳烃污染特征及来源分析
新疆准东煤田降尘重金属污染及健康风险评价 ····································
利亚化尔森口牌土里立周行朱汉健康风险[T]] "你本,爷也用位徒'行仪者,庆祀手,同于师,刈为,发佣(2403) 香中地区十年长坡上中与与同民考虑化维尔及上十年扩流的关系
重庆地区大气场降水中氢氧同位素变化特征及与大气环流的关系
例外图集中位系组分的时间变化特征及影响因于分析。————————————————————————————————————
一
何小-地下小侧间父互审地球化学付征;以里庆川当致侯为例。————————————————————————————————————
张宇,杨平恒,王建力,谢世友,陈峰,詹兆君,任娟,张海月,刘黛薇,孟元可(2478)
亚热带典型岩溶溪流水气界面 CO ₂ 交换通量变化过程及其环境影响 ·········· 李丽, 蒲俊兵, 李建鸿, 于奭, 肖琼, 张陶(2487)
淹水条件下三峡库区典型消落带土壤释放 DOM 的光谱特征:紫外-可见吸收光谱
 准水条件トニ峡库区典型消洛带土壌棒成 DOM 的光谱特征: 紫外-可见吸収光谱
 準水条件トニ映库区典型消洛常土
(Marking Ethin 1987)
华东地区杲水源水中 13 种磺胺类抗生素的分布特征及人体健康风险评价
金磊,姜蕾,韩琪,薛佳怡,叶辉,曹国民,林匡飞,崔长征(2515) 北京水环境中氯胺酮和去甲氯胺酮的浓度水平····································
北京水环境中氯胺酮和去甲氯胺酮的浓度水平
输水期间于桥水库流域水体中溶解态多环芳烃的分布特征与风险 昌盛,赵兴茹,付青,郭睿,王山军(2530)
输水期间于桥水库流域水体中溶解态多环芳烃的分布特征与风险 ····································
岩溶地下河水中多环芳烃、脂肪酸分布特征及来源分析
哈尔滨主城区不同下垫面融雪径流污染特性 孙夕涵,刘硕,万鲁河,王宏(2556)
降水对沣河水质和水体微生物的影响 卢思丹, 孙寓姣, 赵轩, 王蕾, 郑丹阳(2563)
不同磷源下铜绿微囊藻的生长差异及对砷酸盐的响应 王振红,张汉鹏,罗专溪(2570)
布洛芬和双氯芬酸在不同构型人工湿地中的去除行为研究 景瑞瑛,杨扬,戴玉女,万翔,邰义萍,樊静静(2577)
化学预氧化对苏氨酸生成三氯乙醛的影响 蔡广强,傅学敏,刘丽君,卢小艳,张金松,刘嘉祺,曲莹(2586)
活性炭负载 Co ₃ O ₄ 活化过一硫酸盐降解金橙 G 王忠明,陈家斌,张黎明,李文卫,黄天寅(2591)
化学预氧化对苏氨酸生成三氯乙醛的影响
碳纳米管修饰电极电催化还原去除废水中的氯霉素 邓飞,唐柏彬,张进忠,汤民,刘江(2610)
. 健和 表 London 夠深 L 支 付外影 E 产展 形 由 AOV - 角 医和 10C 附 上 经对 电研究
. 健和 表 London 夠深 L 支 付外影 E 产展 形 由 AOV - 角 医和 10C 附 上 经对 电研究
. 健和 表 London 夠深 L 支 付外影 E 产展 形 由 AOV - 角 医和 10C 附 上 经对 电研究
. 健和 表 London 夠深 L 支 付外影 E 产展 形 由 AOV - 角 医和 10C 附 上 经对 电研究
. 健和 表 London 夠深 L 支 付外影 E 产展 形 由 AOV - 角 医和 10C 附 上 经对 电研究
铁刨花-Fenton-絮凝工艺对染料生产废水中 AOX、色度和 TOC 的丢除效果研究 ————————————————————————————————————
铁刨花-Fenton-絮凝上艺对染料生产废水中 AOX、色度和 TOC 的去除效果研究 ————————————————————————————————————
探刨花-Fenton-絮凝工艺对染料生产废水中 AOX、色度和 TOC 的丟除效果研究
读刨花-Fenton-絮凝工艺对染料生产废水中 AOX、色度和 TOC 的去除效果研究 一部 在 上海 大 上海 大 上海 大 大 東 東 法 大 大 大 東 東 法 大 大 大 大
读刨花-Fenton-絮凝工艺对染料生产废水中 AOX、色度和 TOC 的去除效果研究 一部 在 上海 大 上海 大 上海 大 大 東 東 法 大 大 大 東 東 法 大 大 大 大
读刨花-Fenton-絮凝工艺对染料生产废水中 AOX、色度和 TOC 的去除效果研究 一部 在 上海 大 上海 大 上海 大 大 東 東 法 大 大 大 東 東 法 大 大 大 大
探刨花-Fenton-繁凝工艺对染料生产废水甲 AOX、色度和 TOC 的去除效果研究
读刨花-Fenton-繁健工艺对染料生产废水中 AOX、色度和 TOC 的去除效果研究
读刨花-Fenton-繁健工艺对染料生产废水中 AOX、色度和 TOC 的去除效果研究
等側花-Fenton 繁雄上乙対染料生产废水甲 AOX、色度和 TOC 的丢除效果研究
探側花-Fenton 氧化去除制药企业活性污泥中 AOX 的效果研究
探側花-Fenton 氧化去除制药企业活性污泥中 AOX 的效果研究
探側花-Fenton 氧化去除制药企业活性污泥中 AOX 的效果研究
(空間花-Fenton-繁凝上 Z 対染料生产废水中 AOX、色度和 TOC 的 医 家

新疆准东煤田降尘重金属污染及健康风险评价

杨春^{1,2},塔西甫拉提·特依拜^{1,2}*,侯艳军^{1,2},高宇潇^{1,2},刘芳^{1,2},夏楠^{1,2}

(1. 新疆大学资源与环境科学学院,乌鲁木齐 830046; 2. 新疆大学绿洲生态重点实验室(教育部省部共建),乌鲁木齐 830046)

摘要:为研究准东煤田大气降尘重金属的污染状况及潜在健康风险,选取 52 个覆盖全区的样点采集大气降尘,并测试分析样品中 Zn、Cu、Cr、Pb、Hg 和 As 共 6 种重金属元素含量. 结合地累积指数($I_{\rm geo}$)进行污染研究,使用 EPA 人体暴露风险评价. 结果表明,研究区大气降尘重金属浓度具有明显差异,Zn > Cr > Cu > As > Pb > Hg. Hg、Cu 和 As 的变异系数为 381.91%、99.94%和 97.82%,受人类活动影响较大;6 种重金属间的相关性较复杂,Zn-Cu-Cr 较 Hg-As-Pb 的相关性更强. 地累积指数评价表明,重金属 Zn、Cr 的污染较严重,Zn 处于极强度污染,Hg 可视为无污染,Cu、Pb、As 处于轻度-中度污染. 研究区致癌风险暴露量与非致癌风险暴露量差异不大. 非致癌风险商均小于 1, $HQ_{\rm Cr}$ > $HQ_{\rm As}$ > $HQ_{\rm Zn}$ > $HQ_{\rm Pb}$ > $HQ_{\rm Cu}$ > $HQ_{\rm Hg}$,总非致癌风险指数 0.258,研究区 6 种重金属健康风险较小. 致癌风险 $CR_{\rm As}$ > $CR_{\rm Cr}$ > $CR_{\rm Pb}$,Pb 无致癌风险. 其中 As 的致癌风险值占总致癌风险(TCR)的 93.85%,是最主要的致癌因子. TCR 均值为 1.95E-05,处于人体可耐受的致癌风险范围.

关键词:大气降尘; 重金属; 地累积指数; 健康风险评价; 准东煤田

中图分类号: X513; X820.4 文献标识码: A 文章编号: 0250-3301(2016)07-2453-09 DOI: 10.13227/j. hjkx. 2016. 07. 006

Assessment of Heavy Metals Pollution and Its Health Risk of Atmospheric Dust Fall from East Part of Junggar Basin in Xinjiang

YANG Chun^{1,2}, Tashpolat Tiyip^{1,2*}, HOU Yan-jun^{1,2}, GAO Yu-xiao^{1,2}, LIU Fang^{1,2}, XIA Nan^{1,2}

(1. College of Resources and Environmental Sciences, Xinjiang University, Urumqi 830046, China; 2. Key Laboratory of Oasis Ecology (Xinjiang University) Ministry of Education, Urumqi 830046, China)

Abstract: In order to evaluate the contamination and health risk of heavy metals from atmospheric dust fall in Zhundong opencast coalfield in Xinjiang, samples of atmospheric dust fall were collected from 52 sampling sites covering the entire region and the contents of Zn, Cu, Cr, Pb, Hg and As were tested and analyzed. The contamination was assessed by geo-accumulation index method, and the risk to human health was assessed using the US EPA Health Risk Assessment Model. The results showed that: The contamination of heavy metals from atmospheric dust fall had a significant difference, in the order of Zn > Cr > Cu > As > Pb > Hg, and the average contents were higher than the soil background of Changji. The coefficient of variation of Hg, Cu and As was 381.91%, 99.94% and 97.82%, and human activities had a greater impact on them. The correlation coefficients in 6 heavy metals were complex, the correlation coefficients among Zn-Cu-Cr were more relevant than Hg-As-Pb. The assessment results of geo-accumulation index indicated that the Zn pollution in the atmospheric dust fall should be classified as extreme degree, and that of Cu, Pb, As as between slight and extreme degrees, and Hg as practically uncontaminated. The exposure content of carcinogenic risk and non-carcinogenic risk of the study area had little difference. It was $HQ_{cr} > HQ_{As} > HQ_{Zn} > HQ_{Cu} > HQ_{Hg}$, the total non-cancer hazard index was 0.258, the non-cancer hazard indexes were both lower than their threshold values, suggesting that they would not harm the health. The carcinogenic risk hazard indexes were in the order of $CR_{As} > CR_{Cr} > CR_{Pb}$, suggesting that the risk was within the limit that human can tolerate.

Key words: atmospheric dust fall; heavy metals; geo-accumulation index; health risk assessment; Xinjiang Zhundong opencast coaffield

大气降尘是有机颗粒、无机非金属颗粒和金属颗粒的不均匀混合物,粒径大于 10 μm,因重力和降雨等自然降落于地面[单位: t·(km²·月)⁻¹]^[1,2].在无风及降水作用下某些粒径 10 μm 以下的颗粒物也能沉降^[3].降尘通过重力落在土壤、植物和水体,并在各介质中迁移转化和富集,对生态环境产生侵害,并最终影响人类身体健康^[4~7].土壤颗粒、燃煤、交通运输等是大气降尘中重金属的主要来

源^[8],矿采活动带来的重金属污染对居民的健康风险成为全球性问题^[9,10].

新疆地处中国西北边陲,沙漠的扬尘乃至尘暴 是该区背景大气粒子的重要来源. 准东地区是我区

收稿日期: 2015-11-02; 修订日期: 2016-03-04

基金项目: 国家科技支撑计划项目(2014BAC15B01)

作者简介: 杨春(1990~),女,硕士研究生,主要研究方向为干旱区资源与环境遥感监测,E-mail:ycsilence@163.com

^{*} 通讯联系人, E-mail:tash@ xju. edu. cn

重要的露天煤矿采集区,是煤化工、电力、冶炼工业的集聚区,煤炭粉尘是主要大气污染因子. 对其周边降尘污染特征及居住人群的健康风险评价具有重要意义.

本研究通过对覆盖准东地区的 52 个样点大气降尘量及重金属元素的测试,分析研究降尘重金属污染物的污染状况、空间分布特征,最后分析降尘重金属污染对人体健康风险,以期为准东地区大气降尘重金属的污染控制和治理提供科学依据,保障居民的身体健康.

1 材料与方法

1.1 研究区概况

准东煤田位于天山北麓,准噶尔盆地东南部,在 昌吉回族自治州东部三县(吉木萨尔县、奇台县和 木垒县)境内,地处卡拉麦里西南山前戈壁荒漠地 带. 地理坐标 88°36′~90°10′E,44°10′~45°10′N, 属典型的极端干旱大陆气候,主导风向为西北风. 煤田无常年性地表水体,地表植被稀疏,物种单一.

准东煤田是我国最大的整装煤炭基地,煤田面积约13 000 km²,预测煤炭资源储量3 900亿 t,煤层稳定性好,埋藏较浅,易于开采,储煤量占全国储煤量的 7%.新疆准东经济技术开发区属国家级经济技术开发区,五彩湾煤电煤化工产业带、将军庙煤化工业园、北山煤化工园区、大沙丘煤电园区等聚集于此.

1.2 数据收集与处理

1.2.1 采样点的设置

根据研究区的功能区划和污染源分布架设覆盖 全区的 52 个降尘采集点,充分考虑风向、地形、功 能区等因素. 采集点四周无高大遮挡物,避开局部 污染源. 共分 8 个方向布置(图 1).

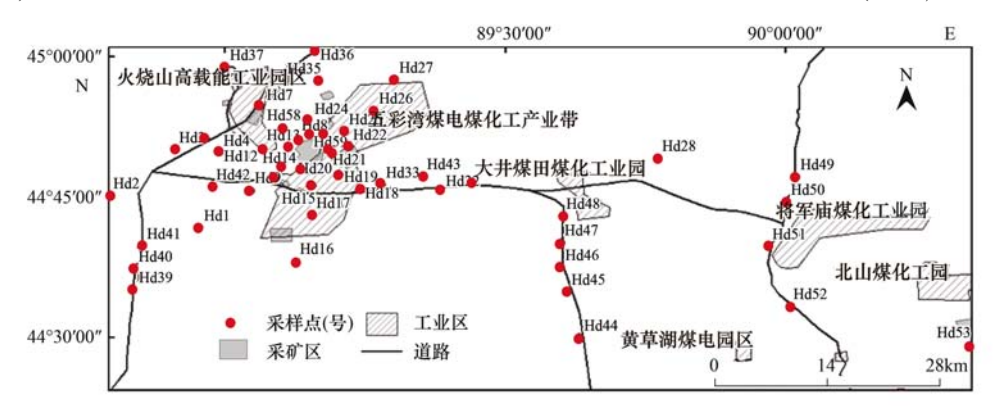


图 1 研究区地理位置及采样点分布示意

Fig. 1 Geographical position map of study area and distribution of sampling points

1.2.2 样品采集

于 2014 年 5 月 ~ 2014 年 12 月,对大气降尘进行连续收集. 降尘收集器距地面 2.0 m,每个降尘收集器放置 3 个高 20 cm,直径 18 cm 的降尘缸,为防止风沙对降尘量的影响,上置不锈钢漏斗. 采样期内的干湿沉降样品采用干法收集,去除降尘缸内的树枝、小石子等异物,用装有超纯水的气压喷壶将降尘样品冲洗到采样瓶中,直至洗净为止. 降尘缸洗净用于后续降尘收集,如有损坏及缺失及时更换.

实验室内将采样瓶中所收集样品倒入培养皿中,蒸干后得到降尘样品. 各采集点降尘重量取3个降尘缸降尘量的平均值. 降尘样品于锡箔纸中密封保存. 合并监测期间所有降尘样品,测定重金属含量.

1.2.3 重金属含量的测定

电子天平称取降尘样品0.5000g于聚四氟乙烯

坩埚,先加入9 mL 的浓盐酸后滴入3 mL 的浓硝酸, 电热板加热至沸腾20 min,再加入5 mL 的氢氟酸加热30 min,然后滴入3 mL 的高氯酸加热至近似蒸干状态,最后滴入10 mL 1:10 的稀硝酸微沸15 min. 如若坩埚内的液体絮状物和沉淀物较多,则重复上述步骤,直至获得澄清液. 标准液与空白样同时消煮. 坩埚内的澄清液冷却后用超纯水定容至20 mL. 研究实验用水均为去离子水,试剂为优纯级.

容量瓶的定容澄清液样品送于新疆大学理化测试中心进行重金属含量测定. 样品共测定锌(Zn)、铜(Cu)、铬(Cr)、铅(Pb)、汞(Hg)和砷(As) 6 种重金属元素. 每个样品重复测定 3 次. Zn、Cu、Cr和 Pb 由日立 Z-2000 型原子吸收分光光度计测定;普析通用 PF6-2 原子荧光光度计测定 Hg和 Hg

mg·L⁻¹、0.2 μg·L⁻¹、5 μg·L⁻¹; 平均回收率为96.2%、99.5%、100.3%、105.4%、98.2%和100.1%. 相对标准偏差 1.5%、1.0%、3.0%、1.0%、3.5%和3.0%,测试结果符合质量控制要求.

1.2.4 数据分析方法

通过 Microsoft Excel 和 SPSS 19.0 对实测数据整理计算,以实测数据为依据利用 Arc GIS10.1 软件进行插值分析.

1.3 重金属污染评价方法

地累积指数(geo-accumulation index, I_{geo}) 是由德国科学家 Muller 提出并广泛应用于土壤及灰尘重金属污染的研究方法,充分考虑不同地区的背景值差异[11,12],公式如下:

$$I_{\text{geo}} = \log_2 \left[C_n / (1.5 \times B_n) \right] \tag{1}$$

式中, C_n 为重金属的实测值; B_n 为土壤背景值,本文选择新疆昌吉州土壤背景值;1.5为未来消除背景差异值的转换系数.

据分级标准^[13,14]将污染程度分为 7 级. 0 级: $I_{geo} \leq 0$,无污染; 1 级: $0 < I_{geo} \leq 1$,轻度-中度污染; 2 级: $1 < I_{geo} \leq 2$,中度污染; 3 级: $2 < I_{geo} \leq 3$,中-强度污染; 4 级: $3 < I_{geo} \leq 4$,强度污染; 5 级: $4 < I_{geo} \leq$

5,强-极强度污染; 6 级: I_{geo}≥5,极强度污染.

1.4 大气降尘重金属的健康风险评价

1.4.1 模型与参数选择

环境中的重金属可以通过手-口直接摄入、呼吸摄入和皮肤接触进入人体^[15,16]. 研究根据前人的成果和对城市道路灰尘重金属的健康风险评价的相关研究,采用美国 EPA 土壤健康风险评价模型,修正模型变量取值^[17~25]. 根据美国 EPA 人体暴露风险评价方法,得到公式(2)~(4). 参数及取值见表 1.

经 手-口 途 径 日 平 均 暴 露 量 [ADD_{ing}/mg·(kg·d)⁻¹]:

$$ADD_{ing} = (c \times CF \times EF \times IngR \times ED) \times (AT \times BW)^{-1}$$
(2)

经呼吸途径日平均暴露量[ADD $_{inh}$ / mg·(kg·d) $^{-1}$]:

$$ADD_{inh} = (c \times EF \times InhR \times ED) \times (PEF \times AT \times BW)^{-1}$$
(3)

经皮肤接触日平均暴露量[ADD_{derm}/mg·(kg·d)⁻¹]

$$ADD_{derm} = (c \times CF \times SL \times ABS \times EF \times SA \times ED) (AT \times BW)^{-1}$$
(4)

表 1 重金属暴露量的计算参数及取值1)

Table 1 Parameters and values for exposure calculation of heavy metals

项目	参数	含义	单位	成人取值	文献
基础参数	c	实测重金属浓度	mg∙kg ⁻¹	95% UCL	[23 ~ 25]
	EF	暴露频率	d•a −1	300	[22]
	ED	暴露年限	a	30	[22]
暴露行为参数	AT	平均暴露时间	d	365×ED(非致癌作用); 365×70(致癌作用)	[23 ~ 25]
	BW	平均体重	kg	60	[22]
	CF	转换系数	kg⋅mg ⁻¹	1×10^{-6}	[22 ~ 25]
项目	参数	含义	单位	成人取值	文献
手-口摄人	IngR	摄入降尘速率	mg•d ⁻¹	50	[22]
呼吸摄入	InhR	呼吸速率	$m^3 \cdot d^{-1}$	13.77	[24,25]
"1 "X 1XX / C	PEF	颗粒物排放因子	$m^3 \cdot kg^{-1}$	$1.36 \times 10^9 (EPA, 2001)$	[24,25]
	SL	皮肤黏着度	mg·cm ⁻²	0.07	[22 ~ 25]
皮肤接触	SA	暴露皮肤面积	$\mathrm{cm}^2 \cdot \mathrm{d}^{-1}$	4 350	[22]
	ABS	皮肤吸收因子	无量纲	1×10^{-3}	[22 ~ 25]

1)根据美国 EPA 人体暴露风险评价方法和场地环境评价导则相关规定确定模型参数,由于研究区主要为荒漠戈壁和围绕露采矿区建立的工业区,故模型暴露参数选择工业区参数.据北京场地环境评价导则暴露参数建议值,工业区暴露参数只考虑成人取值^[23]

1.4.2 人体的健康风险表征

本研究 6 种重金属元素 Zn、Cu、Cr、Pb、Hg 和 As 均具有慢性非致癌健康风险,其中 Cr、Pb、As 具有致癌风险. 降尘重金属的非致癌风险商(HQ)、总非致癌风险指数(HI)和致癌风险指数(TCR)计

算公式为[24~26]:

$$HQ_{ii} = ADD_{ii}/RfD_{ii}$$
 (5)

$$HI = \sum_{i=6}^{j=3} HQ_{ij}$$
 (6)

$$CR = \sum_{i=3}^{j=3} ADD_{ij} \times SF_{ij}$$
 (7)

$$TCR = \sum_{i=3}^{j=3} CR_{ij}$$
 (8)

式中, ADD_{ij} 为重金属 i 第 j 种暴露途径的暴露量 $mg \cdot (kg \cdot d)^{-1}$; RfD_{ij} 为重金属 i 第 j 种暴露途径的参考剂量 $mg \cdot (kg \cdot d)^{-1}$,即每天每 kg 人体摄取的不会引起人体不良反应的污染物的最大量[27]; HQ_{ij} 是非致癌重金属 i 第 j 种暴露途径下的风险商; HI 为 6 种重金属在 3 种暴露途径下总的非致癌风险指数; CR_{ij} 为致癌重金属 i 第 j 种暴露途径的风险指数; SF_{ij} 为污染物 i 第 j 种暴露途径的致癌料率($kg \cdot d$)· mg^{-1} ; TCR 为 3 种致癌重金属在 3 种暴露途径下总的致癌风险指数.

已有研究使用慢性中毒的参考剂量评价非致癌风险. 一般认为 HI < 1 或 HQ < 1,表示重金属的健康风险较小,或者可以忽略; 当 $HI \ge 1$ 或 $HQ \ge 1$ 时存在非致癌风险,值越大健康风险越大[22-24].

美国 EPA 和我国场地环境评价导则均表明当 TCR $< 10^{-6}$,表示重金属无致癌风险; $10^{-6} < TCR < 10^{-4}$,表示处于人体可耐受的致癌风险, TCR $> 10^{-4}$,处于人体不可耐受的致癌风险[23,24].

参考国内外相关研究及我国环境评价导则^[22-24],重金属 Zn、Cu、Cr、Pb、Hg 和 As 在不同暴露途径下对人体的健康风险参考剂量 RfD 见表 2.

表 2 不同暴露途径下重金属元素的参考剂量 $\mathbf{RfD}^{[22\sim24]}/\mathrm{mg}\cdot(\mathrm{kg}\cdot\mathrm{d})^{-1}$

Table 2 Reference doses of heavy metals for each exposure pathway/mg \cdot (kg \cdot d) $^{-1}$

项目	Zn	Cu	Cr	Pb	Hg	As
RfD_{ing}	3. 00 × 10 ⁻¹	4. 00 × 10 ⁻²	3. 00 × 10 ⁻³	3.50×10^{-3}	3. 00 × 10 ⁻⁴	3. 00 × 10 ⁻⁴
$\mathrm{RfD}_{\mathrm{inh}}$	3. 00×10^{-1}	4. 02 \times 10 $^{-2}$	2.86×10^{-5}	3.52×10^{-3}	1.50×10^{-5}	1. 23 \times 10 $^{-4}$
$\mathrm{RfD}_{\mathrm{derm}}$	6.00×10^{-2}	1. 20 \times 10 $^{-2}$	6.00×10^{-5}	5. 25 \times 10 $^{-4}$	8.60×10^{-5}	3.00×10^{-4}

2 结果与讨论

2.1 大气降尘重金属特征

本研究区大气降尘重金属受矿区露天开采、工业园区工业生产、煤炭燃烧和交通运输等人为因素和地形、土壤及风速风向等自然因素的综合影响,呈现出随机分布的特征. 高值区主要集中在露采区、工业园区和运输道路,受盛行风向影响会扩散至下风向区域. 研究区西侧荒漠地带重金属元素含量较低. 根据准东煤田大气降尘样品化验分析结果,通过 SPSS 19.0 得到大气降尘重金属统计情况表(表3).

根据表 3 可以看出,研究区大气降尘重金属浓度具有明显差异,依次为 Zn > Cr > Cu > As > Pb > Hg, Zn 的含量最高. 降尘重金属 Zn、Cu、Cr、Pb、Hg 和 As 的含量分别为5 840. 19、78. 66、482. 07、

20. 10×0.19 和 $40.40 \text{ mg} \cdot \text{kg}^{-1}$,各种降尘重金属含量的差异很大.

6 种大气降尘重金属含量均值均高于昌吉州土壤背景值,分别为昌吉州土壤背景值的 90.97、3.28、10.17、1.97、2.38 和 2.69 倍. 重金属 Zn、Cr、As 的含量均值也远高于土壤环境质量二级标准限值. 研究区大气降尘重金属呈现出不同程度的累积.

变异系数用以表征大气降尘重金属的离散程度. 变异系数依次为 Hg > Cu > As > Zn > Cr > Pb. Hg 元素为强变异,其他 5 种元素为中等变异,Hg 的变异系数最大为 381.92%,Pb 的变异系数最小为42.59%,重金属元素时空分布非常不均匀.Hg 变异系数为 381.92% 最高,Cu、As 的变异系数接近1,说明这 3 种元素受人类活动影响较大.

表 3 重金属的统计1)

	Zn	Table 3 Statist	ics of heavy metals Cr	Pb	Ша	Δ
	ZII	Cu	Cr	FD	Hg	As
最大值/mg·kg ⁻¹	32 787. 72	508. 34	2421.70	43. 43	5. 18	298. 25
最小值/mg·kg-1	1 226. 45	4. 91	26.49	5. 89	0.02	15.00
均值/mg·kg ⁻¹	5 840. 19	78. 66	482. 07	20. 10	0. 19	40. 40
标准差/mg·kg ⁻¹	5 248. 34	78. 61	432.00	8. 56	0.72	39. 52
变异系数/%	89. 87	99. 94	89. 61	42. 59	381. 92	97. 82
新疆昌吉州土壤背景值/mg·kg-1	64. 20	24. 00	47. 40	10. 20	0.08	15.00
国家二级标准/mg·kg-1	250.00	100.00	200.00	300.00	0.50	30.00

1)环境空气质量标准(GB 3095-2012)的污染物限值,只列出了 Cd、Hg、As、Cr(Ⅵ)、F 的浓度限值,故用土壤背景值作为比较值,说明大气降 尘重金属含量特征;土壤环境质量标准(修订)(GB 15618-2008)尚未施行,故仍采用土壤环境质量标准(GB 15618-1995)

2.2 相关性分析

相关性分析对重金属元素的来源识别具有重要意义 [28],相关性显著的元素可能存在相似的来源或复合污染 [29].由表 4 可以看出,6 种重金属间的相关性较复杂, Zn-Cu-Cr 较 Hg-As-Pb 的相关性更强, Cu-Cr 和 Hg-As 两两相关系数为 0.960 和 0.938,在 P < 0.01 水平极显著相关, Zn-Cu 、Zn-Cr 的相关系数为 0.611 和 0.490, Pb-Hg 、Pb-As 的相关系数为

0.393 和 0.561, 且均在 P < 0.01 水平极显著相关.

2.3 重金属污染空间分布特征

利用式(1)得到准东煤田降尘重金属的 $I_{\rm geo}$ (表5),重金属 Zn、Cr 的污染较严重,Zn 处于极强度污染。Hg 的污染级别为0级,可视为无污染。Cu、Pb、As 处于1级即轻度-中度污染。重金属平均 $I_{\rm geo}$ 指数为 Zn > Cr > Cu > As > Pb > Hg, Zn 为主要污染因子,与降尘重金属浓度结果相一致.

表 4 大气降尘重金属元素的相关性1)

Table 4 Correlation coefficient among heavy metals in atmospheric dust fall

	Zn	Cu	Cr	Pb	Hg	As
Zn	1					
Cu	0. 611 **	1				
Cr	0. 490 **	0. 960 **	1			
Pb	0. 083	0. 092	0. 151	1		
Hg	0.052	-0.031	-0.026	0. 393 **	1	
As	0. 025	0.019	0. 059	0. 561 **	0. 938 **	1

1) * *表示在 P < 0.01 水平(双侧)上极显著相关, *表示在 P < 0.05 水平(双侧)显著相关; n = 52

表 5 大气降尘重金属的 I_{geo}

Table 5 Geo-accumulation indexes of heavy metals in atmospheric dust fall

项目	Zn	Cu	\mathbf{Cr}	Pb	Hg	As
$I_{ m geo}$	5. 58	0. 74	2. 31	0. 27	-0.71	0. 61
污染程度	极强度污染	轻度-中度污染	中-强度污染	轻度-中度污染	无污染	轻度-中度污染

选择反距离加权法(inverse distance weighted, IDW)对 6 种大气降尘重金属的 I_{geo} 进行插值和计算,得到降尘重金属污染的空间分布图(图 2). 国内外众多研究成果表明,交通运输源是 Zn、Cu 和Pb 等多种重金属的重要来源,可作为交通污染的指示元素^[30~32]. Zn、Cu、Cr 主要源自于生产过程和金属冶炼,主要集中在研究区北部、西北部地区. 五彩湾煤电煤化工产业带、火烧山高载能产业园区和将军庙煤化工业园有大型金属冶炼制造业,污染严重. 金属冶炼和煤的燃烧是 As 的主要人为源^[33],区域内露天煤矿开采产生的煤尘扩散煤粉颗粒. 煤粉的燃烧和交通车辆尾气的排放是造成大气降尘 Pb 空间分布的主要原因^[29~31]. Hg、As、Pb 主要集中在将军庙煤化工业园和主要交通线路交汇处,北部五彩湾煤电

煤化工产业带存在小范围高值区.

3 降尘重金属健康风险评价

3.1 降尘重金属的日平均暴露量

由式(2)~(4)计算得到准东地区降尘重金属在3种暴露途径下的非致癌和致癌风险日平均暴露量.结果见表6. 非致癌风险日平均暴露量的大小为 Zn>Cr>Cu>As>Pb>Hg,与研究区大气降尘重金属浓度大小一致,不同暴露途径下重金属的暴露剂量呈现出手-口途径>皮肤途径>呼吸途径,手-口途径摄入重金属暴露量是总日平均暴露量的99.37%,是研究区降尘重金属暴露风险的最主要途径. 重金属致癌风险日平均暴露量的大小为 Cr>As>Pb,致癌风险暴露量与非致癌风险暴露量差异不大.

表 6 研究区降尘重金属不同途径的暴露剂量

Table 6 Average daily doses for heavy metals and exposure routes in study area

壬 A 目		非致癌风险暴露量			致癌风险暴露量			
重金属	$\mathrm{ADD}_{\mathrm{ing}}$	$\mathrm{ADD}_{\mathrm{inh}}$	$\mathrm{ADD}_{\mathrm{derm}}$	$\mathrm{ADD}_{\mathrm{ing}}$	$\mathrm{ADD}_{\mathrm{inh}}$	$\mathrm{ADD}_{\mathrm{derm}}$		
Zn	4. 00E-03	8. 10E-07	2. 44E-05	_	_	_		
Cu	5. 39E-05	1. 09E-08	3. 28E-07	_	_	_		
Cr	3. 30E-04	6. 69E-08	2. 01 E-06	1. 42E-04	2.87E-08	8. 62E-07		
Pb	1.38E-05	2. 79E-09	8. 38E-08	5. 90E-06	1. 19E-09	3. 59E-08		
Hg	1. 29E-07	2. 61E-11	7.84E-10	_	_	_		
As	2. 77E-05	5. 60E-09	1. 69E-07	1. 19E-05	2. 41E-09	7. 22E-08		

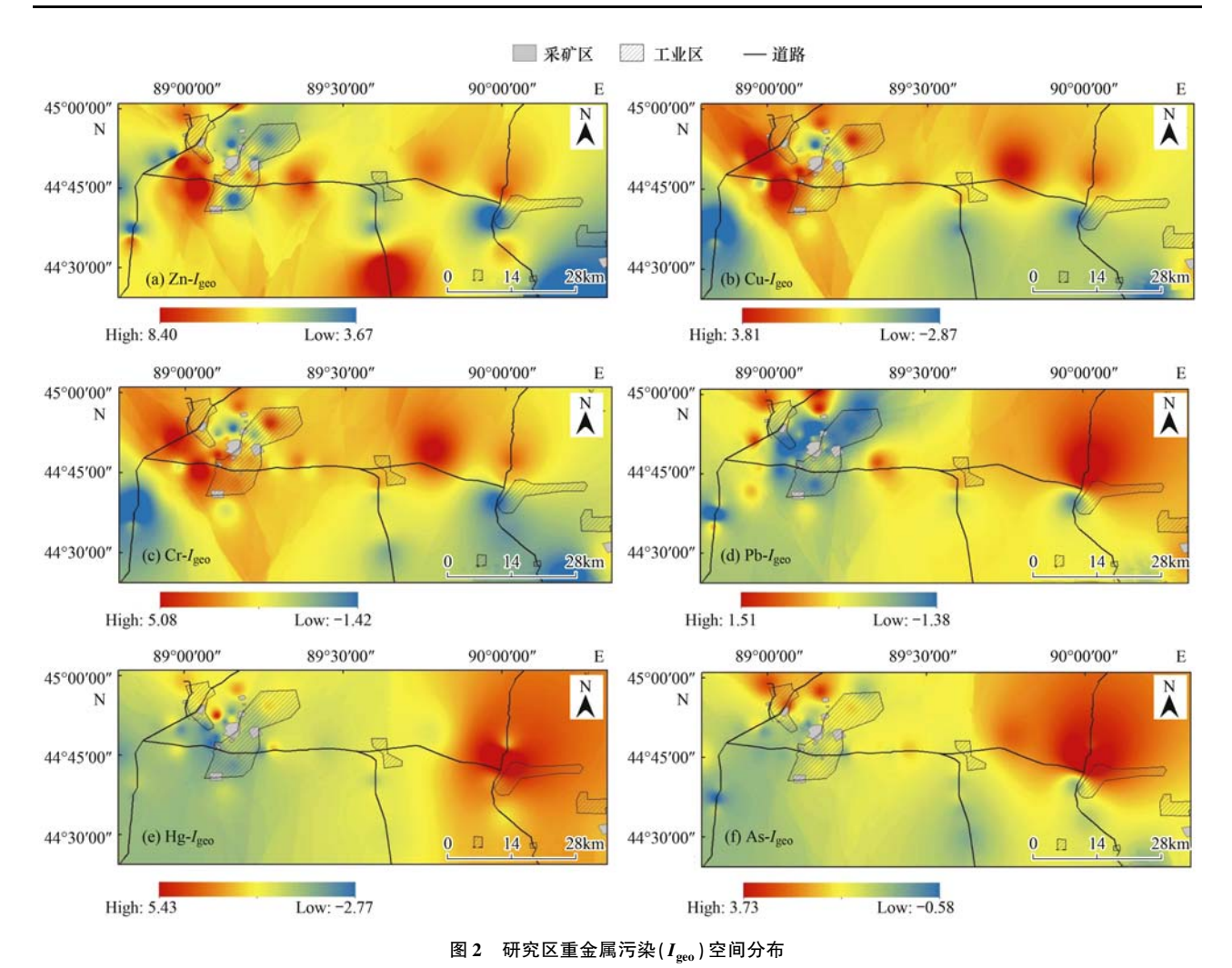


Fig. 2 Spatial distributions of heavy metals in atmospheric dust fall

3.2 降尘重金属的非致癌和致癌健康风险评价

由式(5)、(6)计算得到准东地区 6 种大气降 尘重金属经 3 种暴露途径的单项非致癌风险商 (HQ)和总非致癌风险指数(HI);由式(7)、(8)计 算得到准东地区 Cr、Pb 和 As 的单项致癌风险值 CR 和总致癌风险 TCR,结果见表 7.

本研究区大气降尘重金属的非致癌风险和致癌风险均表现为手-口途径 > 皮肤途径 > 呼吸途径. 重金属元素在 3 种暴露途径下的单项非致癌健康风险指数 Cr、As 和 Zn 位列前三, Pb、Cu、Hg 较低, HQ_{Cr} > HQ_{As} > HQ_{Zn} > HQ_{Pb} > HQ_{Cu} > HQ_{Hg} , 单项风险商均小于 1, 6 种重金属 3 种暴露途径下的 HI 为 0. 258, 未超过 1, 说明研究区大气降尘重金属在安全范围内,基本不会对人体健康造成危害. 个别区域非致癌风险指数较大,需要引起注意,制定一系列的人体保护措施.

致癌重金属元素的致癌风险值 CR_{As} > CR_{Cr} > CR_{Pb}, As 和 Cr 致癌风险值为 1.83E-05 和 1.20E-

06,属于人体可耐受的致癌风险,Pb 的致癌风险值3.05E-10,表明重金属Pb 无致癌风险,As 的致癌风险值占总致癌风险(TCR)的93.85%,是最主要的致癌因子.TCR均值为1.95E-05,处于人体可耐受的致癌风险.需要引起注意的是TCR最大值为1.41E-04大于限值10⁻⁴,处于人体不可耐受的致癌风险,应当引起有关部门的注意,并制定适宜的举措.

本研究区大气降尘重金属受到人类活动的影响,呈现出不同程度的累积.不同途径、不同种类的大气降尘重金属累积将明显加大危害人体健康^[26].研究区大气降尘重金属 HI 未超过标准限值,TCR均值处于人体可耐受的致癌风险.但是部分地区重金属的累积效应使 HI 接近限值,TCR 超过国家标准,引起健康危害.

非致癌风险值 HI 显示将军庙煤化工业园与主要交通干线交汇处、五彩湾煤电煤化工产业带附近存在高值,接近国家标准限值,经过一定的富集作

表 7 准东地区不同暴露途径大气降尘重金属对人体健康风险

Table 7	Chanastanistics for the UC	and CD of bear	u matala in tha atmacabania	dust fall to human bask	under various exposure approaches
rabie /	Characteristics for the fig) and Un of neav	y metais in the atmospheric	dust fall to numan near	1 under various exposure approaches

健康风险类型	Į	重金属	最大值	最小值	均值	SD	Cv/%
		Zn	7. 49E-02	2. 80E-03	1. 33E-02	1. 20E-02	89. 87
		Cu	8. 70E-03	8.40E-05	1. 35E-03	1.35E-03	99. 94
	$\mathrm{HQ}_{\mathrm{ing}}$	Cr	5. 53E-01	6. 05E-03	1. 10E-01	9.86E-02	89.61
	11Qing	Pb	8. 50E-03	1. 15E-03	3. 93E-03	1.68E-03	42. 59
		Hg	1. 18E-02	4. 11E-05	4. 29E-04	1.64E-03	381.91
		As	6. 81 E-01	3. 42E-02	9. 22E-02	9. 02E-02	97. 82
		Zn	1. 52E-05	5. 67E-07	2. 70E-06	2. 43E-06	89. 87
		Cu	1.75E-06	1. 70E-08	2. 71E-07	2.71E-07	99. 94
非致癌风险	$\mathrm{HQ}_{\mathrm{inh}}$	Cr	1. 17E-02	1. 28E-04	2. 34E-03	2. 10E-03	89. 61
		Pb	1.71E-06	2. 32E-07	7. 92E-07	3.37E-07	42. 59
		Hg	4. 79E-05	1.66E-07	1. 74E-06	6. 64E-06	381.91
		As	3. 36E-04	1. 69E-05	4. 56E-05	4. 46E-05	97. 82
		Zn	2. 28E-03	8. 53E-05	4. 06E-04	3.65E-04	89. 87
		Cu	1.77E-04	1.70E-06	2. 73E-05	2. 73E-05	99. 94
	$\mathrm{HQ}_{\mathrm{derm}}$	Cr	1.68E-01	1.84E-03	3. 35E-02	3.00E-02	89. 61
	11Q _{derm}	Pb	3.45E-04	4. 68E-05	1.60E-04	6.80E-05	42. 59
		Hg	2. 51E-04	8.73E-07	9. 12E-06	3.48E-05	381.91
		As	4. 15E-03	2. 09E-04	5. 62E-04	5. 50E-04	97. 82
	HI		1. 53	4. 67E-02	2. 58E-01	2. 39E-01	92. 39
		Cr	6.05E-06	6. 61 E-08	1. 20E-06	1.08E-06	89. 61
政癌风险	CR	Pb	6. 60E-10	8. 95E-11	3. 05E-10	1.30E-10	42. 59
		As	1. 35E-04	6.81E-06	1.83E-05	1.79E-05	97. 82
	TCR		1.41E-04	6.87E-06	1.95E-05	1. 90E-05	97. 32

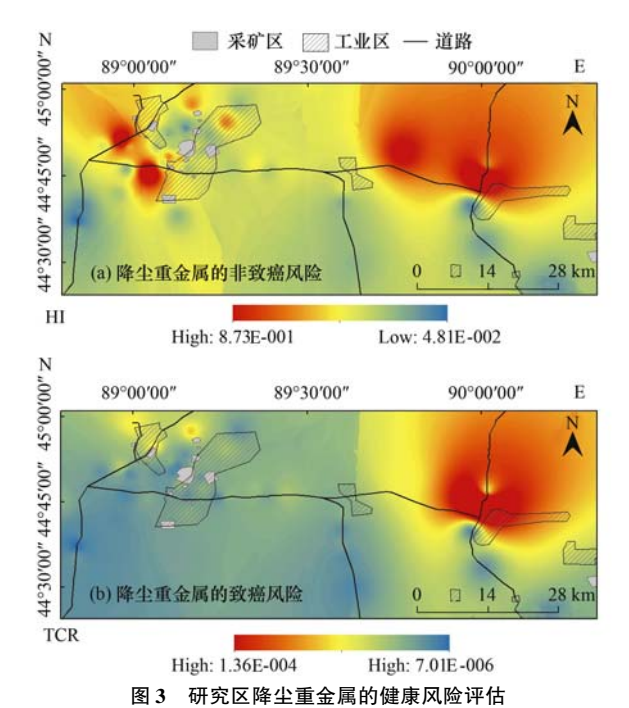


Fig. 3 Spatial distributions of health risk assessment of heavy metals in atmospheric dust fall

用,可能对人体健康产生危害(图 3). 将军庙煤化工业园与主要交通干线交汇处的致癌风险值 TCR

大于标准限值,处于不可耐受的致癌风险范围.

4 讨论

4.1 大气降尘重金属污染分析

大气降尘重金属的来源主要是自然源和人为源. 人为源由人类生产活动产生,是导致降尘重金属暴露量差异的最主要原因. 本研究 6 种大气降尘重金属含量均值均高于昌吉州土壤背景值,说明研究区大气降尘重金属受到人类活动的影响,并呈现出不同程度的累积. 重金属 Hg、As 及 Zn、Cu、Cr在来源、运移、富集等过程有较高的相似性[34],与本研究的结果一致.

4.2 降尘重金属的健康风险评估

降尘重金属的暴露量和非致癌与致癌风险均表现为手-口途径 > 皮肤途径 > 呼吸途径. 手-口途径摄入重金属暴露量是总日平均暴露量的 99.37%,通过手-口途径摄入重金属的非致癌风险值占总非致癌风险值的 85.66%,通过手-口途径摄入重金属的致癌风险值占总致癌风险值的 91.28%. 手-口途径摄入是研究区降尘重金属暴露的最主要途径,同时也是影响人类健康风险的主要途径.

研究区非致癌风险值未超出规定限值,且总非致癌风险值也小于1,说明研究区大气降尘重金属在安全范围内,基本不会对人体健康造成危害.研究区致癌风险处于人体可耐受的致癌风险,重金属Pb 无致癌风险,As 是最主要的致癌因子.

值得注意的是由于重金属的累积,研究区部分地区的非致癌风险值和致癌风险值均大于标准限值,对人体健康产生危害,甚至可能引起人体不可耐受的致癌风险,需要引起注意,制定相关举措.

5 结论

- (1)研究区大气降尘重金属浓度具有明显差异,Zn>Cr>Cu>As>Pb>Hg,且呈现出不同程度的累积. Hg、Cu和As受人类活动影响较大.
- (2)6 种重金属间的相关性较复杂,Zn-Cu-Cr 相 关性较高.
- (3) I_{geo}结果表明重金属 Zn、Cr 的污染较严重,Zn 处于极强度污染; Hg 可视为无污染.
- (4) 手-口途径摄入是研究区降尘重金属暴露的最主要途径同时也是影响人类健康风险的主要途径. 致癌风险暴露量与非致癌风险暴露量差异不大. 非致癌风险 HQ_{Cr} > HQ_{As} > HQ_{Zn} > HQ_{Pb} > HQ_{Cu} > HQ_{Hg},单项风险商与总非致癌风险指数均小于 1,基本不会对人体健康造成危害. Pb 无致癌风险,As的致癌风险值占总致癌风险(TCR)的 93.85%,是最主要的致癌因子. TCR 均值为 1.95 E-05,处于人体可耐受的致癌风险.

参考文献:

- [1] 王赞红. 大气降尘监测研究[J]. 干旱区资源与环境, 2003, 17(1): 54-59.
- [2] 付宗敏. 大气降尘和 TSP 的地质化学特点及来源分析[D]. 长沙: 湖南大学, 2011.
- [3] 张新民, 柴发合, 孙新章. 大气降尘研究进展[J]. 中国人口·资源与环境, 2008, **18**(专刊): 658-662.
- [4] Zhao H R, Xia B C, Fan C, et al. Human health risk from soil heavy metal contamination under different land uses near Dabaoshan Mine, Southern China [J]. Science of the Total Environment, 2012, 417-418: 45-54.
- [5] 吴辰熙, 祁士华, 方敏, 等. 福建省泉州湾大气降尘中的重金属元素的沉降特征[J]. 环境科学研究, 2006, **19**(6): 27-30
- [6] Pan Y P, Wang Y S. Atmospheric wet and dry deposition of trace elements at 10 sites in Northern China [J]. Atmospheric Chemistry and Physics, 2015, 15(2): 951-972.
- [7] 杜金花, 张宜升, 何凌燕, 等. 深圳某地区大气 PM_{2.5}中重金属的污染特征及健康风险评价[J]. 环境与健康杂志, 2012, **29**(9): 838-840.

- [8] 郝社锋,陈素兰,朱佰万.城市环境大气降尘重金属研究进展[J].地质学刊,2012,36(4):418-422.
- [9] Cai L M, Xu Z C, Qi J Y, et al. Assessment of exposure to heavy metals and health risks among residents near Tonglushan mine in Hubei, China[J]. Chemosphere, 2015, 127: 127-135.
- [10] Li Z Y, Ma Z W, van der Kuijp T J, et al. A review of soil heavy metal pollution from mines in China: pollution and health risk assessment [J]. Science of the Total Environment, 2014, 468-469: 843-853.
- [11] Muller G. Index of geoaccumulation in sediments of the Rhine River[J]. Geo Journal, 1969, 2(3): 108-118.
- [12] 李萍, 薛粟尹, 王胜利, 等. 兰州市大气降尘重金属污染评价及健康风险评价[J]. 环境科学, 2014, **35**(3): 1021-1028.
- [13] 段海静, 蔡晓强, 阮心玲, 等. 开封市公园地表灰尘重金属 污染及健康风险[J]. 环境科学, 2015, **36**(8): 2972-2980.
- [14] Lu X W, Wang L J, Lei K, et al. Contamination assessment of copper, lead, zinc, manganese and nickel in street dust of Baoji, NW China[J]. Journal of Hazardous Materials, 2009, 161 (2-3): 1058-1062.
- [15] Ferreira B L, De Miguel E. Geochemistry and risk assessment of street dust in Luanda, Angola; a tropical urban environment[J]. Atmospheric Environment, 2005, 39(25); 4501-4512.
- [16] Kurt-Karakus P B. Determination of heavy metals in indoor dust from Istanbul, Turkey: estimation of the health risk [J]. Environment International, 2012, **50**: 47-55.
- [17] Keshavarzi B, Tazarvi Z, Rajabzadeh M A, et al. Chemical speciation, human health risk assessment and pollution level of selected heavy metals in urban street dust of Shiraz, Iran [J]. Atmospheric Environment, 2015, 119: 1-10.
- [18] Wu S, Peng S Q, Zhang X X, et al. Levels and health risk assessments of heavy metals in urban soils in Dongguan, China [J]. Journal of Geochemical Exploration, 2015, 148: 71-78.
- [19] Xiao Q, Zong Y T, Lu S G. Assessment of heavy metal pollution and human health risk in urban soils of steel industrial city (Anshan), Liaoning, Northeast China [J]. Ecotoxicology and Environmental Safety, 2015, 120; 377-385.
- [20] Wei X, Gao B, Wang P, et al. Pollution characteristics and health risk assessment of heavy metals in street dusts from different functional areas in Beijing, China [J]. Ecotoxicology and Environmental Safety, 2015, 112: 186-192.
- [21] Liu X T, Zhai Y B, Zhu Y, et al. Mass concentration and health risk assessment of heavy metals in size-segregated airborne particulate matter in Changsha [J]. Science of the Total Environment, 2015, 517: 215-221.
- [22] DB11/T 656-2009, 场地环境评价导则[S].
- [23] [京环发[2007]8号],北京市环境保护局文件——场地环境评价导则[S].
- [24] U. S. EPA (Environmental Protection Agency). Supplemental Guidance for Developing Soil Screening Levels for Superfund Sites [R]. Washington DC: Office of Emergency and Remedial Response, 2002. 4-24.

- [25] US EPA. Integrated risk information system [R/OL]. https://www.epa.gov/iris.
- [26] 张春荣,吴正龙,姚春卉,等.青岛市区大气降尘重金属对人体健康风险的评价[J].环境科学,2014,35(7):2736-2741.
- [27] 常静, 刘敏, 李先华, 等. 上海地表灰尘重金属污染的健康 风险评价[J]. 中国环境科学, 2009, **29**(5): 548-554.
- [28] Lv J S, Liu Y, Zhang Z L, et al. Factorial kriging and stepwise regression approach to identify environmental factors influencing spatial multi-scale variability of heavy metals in soils[J]. Journal of Hazardous Materials, 2013, 261: 387-397.
- [29] Han Y M, Du P X, Cao J J, et al. Multivariate analysis of heavy metal contamination in urban dusts of Xi'an, Central China [J]. Science of the Total Environment, 2006, 355 (1-3): 176-186.
- [30] Soltani N, Keshavarzi B, Moore F, et al. Ecological and human

- health hazards of heavy metals and polycyclic aromatic hydrocarbons (PAHs) in road dust of Isfahan metropolis, Iran [J]. Science of the Total Environment, 2015, **505**: 712-723.
- [31] 李小飞,陈志彪,张永贺.等.福州市公交枢纽站地表灰尘重金属含量、来源及其健康风险评价[J].环境科学研究,2013,26(8):906-912.
- [32] Abbasi M N, Tufail M, Chaudhry M M. Assessment of heavy elements in suspended dust along the Murree highway near capital city of Pakistan[J]. World Applied Sciences Journal, 2013, 21 (9): 1266-1275.
- [33] 江华亮,王宗爽,武雪芳,等. 我国大气 PM_{2.5}中砷的污染特征、来源及控制[J]. 环境工程技术学报,2015,**5**(6):464-470
- [34] 杨孝智,陈扬,徐殿斗,等. 北京地铁站灰尘中重金属污染特征及健康风险评价[J]. 中国环境科学,2011,31(6):944-950.

HUANJING KEXUE

Environmental Science (monthly)

Vol. 37 No. 7 Jul. 15, 2016

CONTENTS

Concentration Characteristics of PM _{2,5} in Beijing During Two Red Alert Periods Response of Human Respiratory Height PM _{2,5} Variation Characteristics to Meteorological Factors During Winter Haze Days in Beijin	g
Pollutional Characteristics and Sources Analysis of Polycyclic Aromatic Hydrocarbons in Atmospheric Fine Particulate Matter in Lanz	ZHANG Nan, XIONG Hei-gang, GE Xiu-xiu, et al. (2419)
Tollutollar characteristics and cources manysis of rotycycle fromatic hydrocarbons in minospiene that rathenate matter in cana-	
Determination and Source Apportionment of Aromatic Acids in PM _{2,5} from the Northern Suburb of Nanjing in Winter	
Impact of Marine-atmospheric Process on Aerosol Number Size Distribution in the South China Sea	KONG Ya-wen, SHENG Li-fang, LIU Qian, et al. (2443)
Assessment of Heavy Metals Pollution and Its Health Risk of Atmospheric Dust Fall from East Part of Junggar Basin in Xinjiang	
Variations of Stable Isotope in Precipitation and Its Atmospheric Circulation Effect in Chongqing	WEN Yan-ru, WANG Jian-li (2462)
Temporal Dynamics of Stable Isotopic Composition in Lake Taihu and Controlling Factors	
Geochemical Characteristics of Lateral Hypotheic Zone Between the River Water and Groundwater, a Case Study of Maanyi in Chons	oring
Occidental characteristics a factor hypothete 20th Detrect the fact which that occidentally a case study of maintain change	ZHANG Yu, YANG Ping-heng, WANG Jian-li, et al. (2478)
Variations of CO ₂ Exchange Fluxes Across Water-air Interface and Environmental Meaning in a Surface Stream in Subtropical Karst	Area, SW China ·····
Spectral Characteristics of Dissolved Organic Matter (DOM), Releases from Soils of Typical Water-Level Fluctuation Zones of Three	Corges Reservoir Areas, IIV-Vis Spectrum
Special Guarde of Dissorted Signife Fault (DSA) Release from Soils of Typical water 1200 Tale dation 2016 of The Ca	LIANG Jian, JIANG Tao, LU Song, et al. (2496)
Spectral Characteristics of Dissolved Organic Matter (DOM) Releases from Soils of Typical Water-Level Fluctuation Zones of Three	Gorges Reservoir Areas: Fluorescence Spectra
operation of the state of the s	LIANG Jian, JIANG Tao, LU Song, et al. (2506)
Distribution Characteristics and Health Risk Assessment of Thirteen Sulfonamides Antibiotics in a Drinking Water Source in East Chi	
Concentrations of Ketamine and Norketamine in the Water Environment in Beijing	
Distribution Characteristics and Risk Assessment of Polycyclic Aromatic Hydrocarbons in the Water of Yuqiao Reservoir Watershed I	Ouring the Water Delivery Period
	CHANG Sheng, ZHAO Xing-ru, FU Qing, et al. (2530)
Concentrations and Partitioning of Halogenated Flame Retardants in Industrial Water of Dongjiang River	HE Ming-jing, LI Qi, ZHAO Jia-yuan, et al. (2539)
Distribution Characteristics and Source Identification of Polycyclic Aromatic Hydrocarbons. Fatty Acids in Water of Karst Undergroup	nd River
Desiration distinctions and course remainded to topological remainder remain	····· XIE Zheng-lan, SUN Yu-chuan, ZHANG Mei, et al. (2547)
Pollution Characteristics of Snowmelt Runoff on Different Underlying Surface in Main Urban Area of Harbin	SUN Xi-han, LIU Shuo, WAN Lu-he, et al. (2556)
Impact of Precipitation on Fenghe River Water and Aquatic Microorganisms	LU Si-dan, SUN Yu-jiao, ZHAO Xuan, et al. (2563)
Response of Microcystis aeruginosa Growth to Arsenate Under Different Phosphorus Regimes	
Removal Behavior of Ibuprofen and Diclofenac in Different Constructed Wetlands	
Influence of Chemical Pre-oxidation on Chloral Hydrate Formation of Threonine	CAI Guang-qiang, FU Xue-min, LIU Li-jun, et al. (2586)
Activated Carbon Supported Co ₃ O ₄ Catalysts to Activate Peroxymonosulfate for Orange G Degradation W.	
Kinetics for Degradation of Orange G with Peroxymonosulfate Activated by Carbon Nanotubes	ZHANG Li-ming, CHEN Jia-bin, LI Wen-wei, et al. (2601)
Removal of Chloramphenicol in Wastewater by Electrocatalytic Reduction with Carbon Nanotubes-Modified Electrode	
Removal of AOX, Chroma and TOC in Chemical Dyestuff Wastewater with Iron Scraps-Fenton-Coagulation Combined Process	
Removal of AOX in Activated Sludge of a Chemical Pharmaceutical Industry with Fenton Oxidation	CHEN Si, XU Can-can, LIU Rui, et al. (2625)
Performance Evaluation of a Pilot-scale Microbubble-aerated Biofilm Reactor	
Nitrogen Removal Performance of Novel HABR Reactor over CANON Process	BAO Lin-lin, CHEN Wan-qiu (2639)
Characteristics of a Combined Heterotrophic and Sulfur Autotrophic Denitrification Technology for Removal of High Nitrate in Water	LI Xiang, MA Hang, HUANG Yong, et al. (2646)
Characteristics of Microbial Community in Each Compartment of ABR ANAMMOX Reactor Based on High-throughput Sequencing	
(100)	CHEN Chong-jun, ZHANG Hai-qin, WANG Yao-qi, et al. (2652)
Nitrogen Removal and the Characteristics of Denitrification Bacteria Using NUA-DAS Ecofilter	
Coupling of Hydrocarbon Accumulation and Cobalt Removal During Treatment of Cobalt Enriched Industrial Wastewater with Botryoc	occus braunii Biofilm Attached Cultivation
Couping of Hydrocanous Accumulation and Constant Removal During Healthan of Constant Indicated Hadestran Water Donyton	··· CHENG Peng-fei, WANG Yan, YANG Qi-yong, et al. (2666)
Isolation of Raoultella sp. sari01 and Its Heterotrophic Nitrification-Aerobic Denitrification Characteristics	
Screening and Nitrogen Removing Characteristics of Heterotrophic Nitrification-Aerobic Denitrification Bacteria SLWX2 from Sea Wat	
Biodiversity of Thiocyanate-degrading Bacteria in Activated Sludge from Coking Wastewater	• • • • • • • • • • • • • • • • • • • •
Responses of Plankton Microeukaryotic Community to Increasing Temperatures Created by Power Plant Thermal Discharges	
Characteristics of Soil Microbial Community Structure in the Rhizospheric Soil of Ammopiptanthus mongolicus by Phospholipid Fatty	Acid (PLFA) ·····
Response of Soil Respiration to Extreme Precipitation in Semi-arid Regions	
Features and Influencing Factors of $\mathrm{N}_2\mathrm{O}$ Emissions from Drawdown Area in the Three Gorges Reservoir \cdots	
${\it Denitrification Loss and N}_2 {\it O Emission from Different Carbon Inputs in Orchard Drains Sediments}$	
Emissions Characteristics of Greenhouse Gas from Sewage Sludge Composting Process in Winter	······ YI Jian-ting, YANG Yu-han, ZHANG Cheng, et al. (2738)
Distribution and Source Analysis of Polycyclic Aromatic Hydrocarbons (PAHs) and Organochlorine Pesticides (OCPs) in Soils from	Shergyla Mountain, Southeast Tibetan Plateau
Applications of Geostatistical Analyses and Stochastic Models to Identify Sources of Soil Heavy Metals in Wuqing District, Tianjin, C	China
Effects of Soil Moisture and Temperature Variations on Organic Carbon Mineralization of Purple Soil in the Hydro-fluctuation Belt of	the Three Gorges Reservoir
	· DING Chang-huan, WANG Lian-ge, TANG Jiang, et al. (2763)
Reduction Effect of Reduced Phosphorus Fertilizer and Combining Organic Fertilizers on Phosphorus Loss of Purple Soil Sloping Field	
Transformation and Migration of Sulfur Speciation in the Rhizosphere and Bulk Soil of Paddy Soil	DU Guang-hui ,RAO Wei .LI Xin .et al. (2779)
Comparison of the Persistence of a Combined Amendment Stabilizing Pb, Cd, Cu and Zn in Polluted Paddy Soil	
Bio-inspired Recovery of Platinum Nanoparticle and Its Mechanism	
Preparation of γ -Fe ₂ O ₃ Catalyst by Heat Treatment of Natural Limonite for Selective Catalytic Reduction of NO by NH ₃ ····································	
	. , , , , , , , , , , , , , , , , , , ,

《环境科学》第6届编辑委员会

主 编:赵进才

副主编:赵景柱 郝吉明 田 刚

编 委: (按姓氏笔画排序)

万国江 王华聪 王凯军 王绪绪 田 刚 田 静 史培军

朱永官 刘志培 刘 毅 汤鸿霄 孟 伟 周宗灿 林金明

赵进才 赵景柱 姜 林 郝郑平 郝吉明 聂永丰 黄 霞

黄耀鲍强潘纲潘涛魏复盛

环维种草

(HUANJING KEXUE)

(月刊 1976年8月创刊)

2016年7月15日 第37卷 第7期

ENVIRONMENTAL SCIENCE

(Monthly Started in 1976)

Vol. 37 No. 7 Jul. 15, 2016

主	管	中国科学院	Superintended	by	Chinese Academy of Sciences
主	办	中国科学院生态环境研究中心	Sponsored	by	Research Center for Eco-Environmental Sciences, Chinese
协	办	(以参加先后为序)			Academy of Sciences
		北京市环境保护科学研究院	Co-Sponsored	by	Beijing Municipal Research Institute of Environmental
		清华大学环境学院			Protection
主	编	赵进才			School of Environment, Tsinghua University
编	辑	《环境科学》编辑委员会	Editor-in -Chief		ZHAO Jin-cai
>m	7-4	北京市 2871 信箱(海淀区双清路	Edited	by	The Editorial Board of Environmental Science (HUANJING
		18 号,邮政编码:100085)			KEXUE)
		电话:010-62941102,010-62849343			P. O. Box 2871, Beijing 100085, China
		传真:010-62849343			Tel:010-62941102,010-62849343; Fax:010-62849343
		E-mail; hjkx@ rees. ac. cn			E-mail; hjkx@ rcees. ac. cn
		http://www.hjkx.ac.cn			http://www. hjkx. ac. en
出	版	4 望出版社	Published	by	Science Press
_	,	北京东黄城根北街 16 号			16 Donghuangchenggen North Street,
		邮政编码:100717			Beijing 100717, China
印刷装	订	北京北林印刷厂	Printed	by	Beijing Bei Lin Printing House
发	行	斜学出版社	Distributed	by	Science Press
		电话:010-64017032			Tel:010-64017032
		E-mail:journal@mail.sciencep.com			E-mail; journal@ mail. sciencep. com
订购	处	全国各地邮电局	Domestic		All Local Post Offices in China
国外总发	行	中国国际图书贸易集团有限公司	Foreign		China International Book Trading Corporation (Guoji
		(北京 399 信箱)			Shudian), P. O. Box 399, Beijing 100044, China

中国标准刊号: ISSN 0250-3301 CN 11-1895/X

国内邮发代号: 2-821

国内定价:120.00元

国外发行代号: M 205

国内外公开发行